

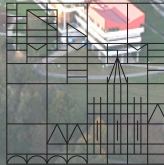
Computerphysik II

Teil 3 - Stochastische Methoden

S. Gerlach

WiSe 2022/23

Universität
Konstanz



INHALT

1. Zufallszahlen und -generatoren
2. Nicht-gleichverteilte Zufallszahlen
3. Monte-Carlo Integration
4. Random-Walk
5. Zelluläre Automaten
6. Perkolation, etc.



Bis 30.1.2023:

https:

//evasys.uni-konstanz.de/evasys/online.php?pswd=ZATLQ

Zufallszahlen für Kryptographie:

- ▶ Wenige Ziffern (typisch: 128 - 4096 bit)
- ▶ Anwendung: Verschlüsselung, Authentifizierung, Integrität
- ▶ "kryptographische" Qualität
- ▶ /dev/random, /dev/urandom, CPUs (RDRAND)

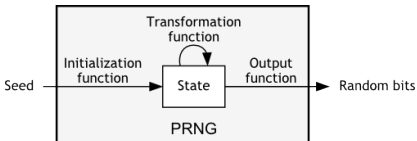
Zufallszahlen für Computereperimente:

- ▶ Anwendung: Stichprobe, Randomisierung, Simulationen
- ▶ Oft sehr große Anzahl
- ▶ Statistische Qualität wichtig



Zufallszahlen

- ▶ **Echte Zufallszahlen** (Münze, Würfeln, Radioaktiver Zerfall, elektr. Rauschen, Quanteneffekte etc.) sind aufwendig
- ▶ Verwende sog. **Pseudozufallszahlen**, die mittels determ. Algorithmen berechnet werden. Diese Algorithmen nennt man **Pseudozufallszahlengeneratoren** (PRNG).
- ▶ PRNGs erzeugen eine Folge von Zufallszahlen (ganzzahlig) ausgehend von Startwert (*seed*)
- ▶ Wichtige Eigenschaften von PRNGs: (stat.) **Qualität, Periode, Geschwindigkeit**
- ▶ **Qualität** lässt sich mit stat. Tests prüfen (Unabhängigkeit, Verteilung, Korrelationen)
- ▶ **Periode** durch den Alg. festgelegt, **Geschwindigkeit** abh. von Implementierung
- ▶ Wichtige PRNGs: Arithmetische Berechnungen, Kongruenzgeneratoren, Mersenne-Twister



Zufallszahlengenerator

PRNG: Iterative Berechnung einer Folge von Zufallszahlen mit Startwert (*seed*). Ergebnis: gleichverteilte Zufallszahlen

Hybrider Generator: Initialisierung mit echter Zufallszahl (Hardware/Nutzer Infos)

```
int getRandomNumber()  
{  
    return 4; // chosen by fair dice roll.  
             // guaranteed to be random.  
}
```

Beispiel **Linearer Kongruenzgenerator(LKG):**

$$x_{n+1} = (ax_n + b) \bmod m$$

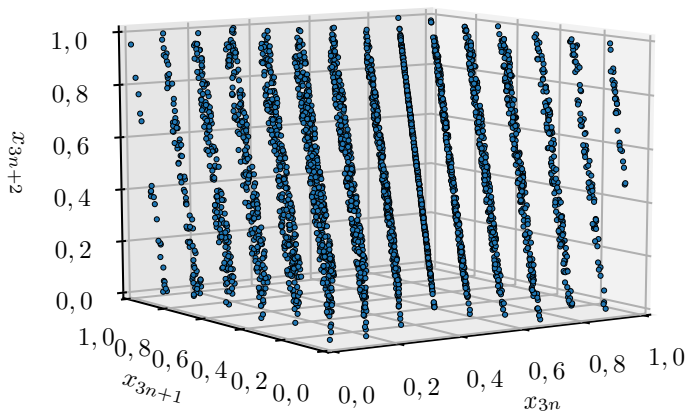
Parameter: a , b , m

x_0 - Startwert

m bestimmt die Periode und je nach Wahl a und b schwankt die Qualität.

LKG: geringe Qualität, da z. B. Hyperebenenverhalten.

3D Spektraltest des LKG für $a = 65539$, $b = 0$ und $m = 2^{31}$:



- ▶ Sehr gute stat. Qualität
- ▶ Extrem lange Periode (**MT19937**: $2^{19937} - 1 \approx 10^{6001}$)
- ▶ Oft in Monte-Carlo-Simulationen (MC) und Molekulardynamik (MD) genutzt



Python verwendet MT19937 (Numpy: wählbar, default: PCG64)

`random.seed(S)`: Startwert S setzen

`random.random()`: Zufallszahlen im Bereich $[0, 1)$

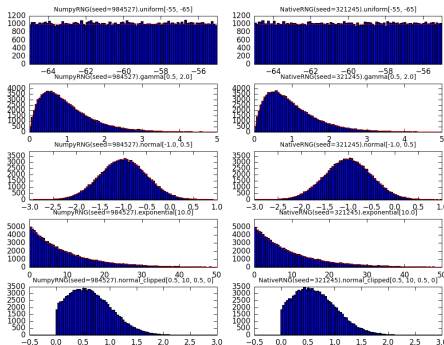
`random.uniform(a, b)`: Zufallszahlen im Bereich $[a, b)$

`random.randint(a, b)`: ganzzahlige Zufallszahlen im Bereich $[a, b)$

Zufallszahlenverteilungen

PRNGs liefern gleichverteilte Zufallszahlen. Viele Anwendungen:
Zufallszahlen mit einer bestimmten **Wahrscheinlichkeitsverteilung**
Wichtige **Methoden**:

- ▶ **Inversionmethode** (Bsp. Exponentialvert., Lorentz-vert.)
- ▶ **Verwerfungsmethode**
- ▶ Normalverteilung: Box-Muller, Polarmethode, Ziggurat-Methode



Transformation der Verteilung (von Gleichverteilung auf gewünschte Verteilung):

Sei u eine gleichverteilte Zufallsvariable, d. h.

$$F_u(x) = P(u \leq x) = \int_0^x dx' = x, \quad (1)$$

Ausgehend von der normierten Wahrscheinlichkeitsverteilung $\rho(x)$ ist die kumulative Verteilungsfunktion einer Zufallsvariable z

$$F_z(x) = P(z \leq x) = \int_{x_0}^x \rho(x') dx'$$

dann erhält man eine ρ -verteilte Zufallsvariable z durch

$$z = F_z^{-1}(u).$$

denn

$$F_z(x) = P(z \leq x) \stackrel{(1)}{=} F_u(F_z(x)) = P(u \leq F_z(x)) = P(F_z^{-1}(u) \leq x)$$

Exponentialverteilte Zufallszahlen ($\rho(x) = ae^{-ax}$ ($x \in [0, \infty)$)):

$$F(z) = \int_0^z \rho(x') dx' = 1 - e^{-az} = u,$$

wobei u eine gleichverteilte Zufallsvariable ist. Damit $z = -\frac{1}{a} \ln(1 - u)$.
Also

$$z_i = -\frac{1}{a} \ln(1 - u_i) \quad (i = 1, \dots, n).$$

Lorentz-verteilte Zufallszahlen ($\rho(x) = \frac{\gamma}{\pi(\gamma^2 + x^2)}$ ($x \in (-\infty, \infty)$)):

$$F(z) = \int_{-\infty}^x \rho(x') dx' = \frac{1}{2} + \frac{1}{\pi} \operatorname{atan} \left(\frac{x}{\gamma} \right) = u.$$

Invertieren: $z = \gamma \tan \left(\pi \left(u - \frac{1}{2} \right) \right)$, d. h.

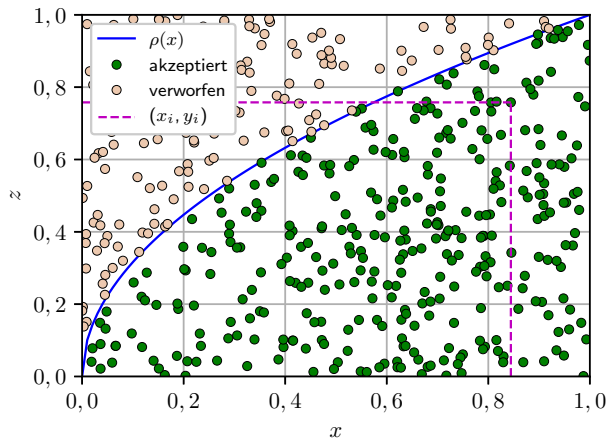
$$z_i = \gamma \tan \left(\pi \left(u_i - \frac{1}{2} \right) \right) \quad (i = 1, \dots, n).$$

Verwerfungsmethode

z. B. Erzeuge Zufallszahlen mit einer Wurzelverteilung

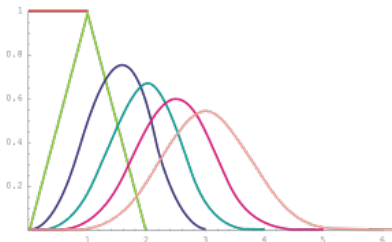
Effizienz:

$$\frac{\int_a^b \rho(x) dx}{(b-a)\Delta y}$$



Normalverteilte Zufallszahlen - Zwölferregel

Betrachte **Summe von n gleichverteilten Zufallszahlen**. Die Summe hat dann eine Irwin-Hall-Verteilung, die für große n sehr schnell zur Normalverteilung konvergiert (zentrale Grenzwertsatz).



Zwölferregel: 12 gleichverteilten Zufallszahlen im Intervall $[0 : 1]$ + Normierung $((s - n/2)\sigma + \mu)$

Vorteil: sehr geringer Rechenaufwand (Summe + Normierung)

Nachteil: Unabhängigkeit der Zufallszahlen wichtig (Spektraltest)

→ Andere Methoden (Polarmethode oder Ziggurat) heutzutage besser

Normalverteilte Zufallszahlen - Box-Muller Methode (1958)

$$\rho(x, y) = \frac{1}{2\pi} e^{-\frac{x^2+y^2}{2}}$$

bzw. in Polarkoordinaten

$$\rho(r, \varphi) = \frac{r}{2\pi} e^{-\frac{r^2}{2}}.$$

Nun kann für r die Inversionsmethode angewendet werden:

$$F(r) = \int_0^r e^{-\frac{r'^2}{2}} r' dr' = 1 - e^{-\frac{r^2}{2}} = 1 - u_1.$$

Hier kann man $1 - u_1$ statt u_1 verwenden, da u_1 gleichverteilt ist in dem Intervall $[0, 1]$ und damit auch $1 - u_1$.

Das Ergebnis ist daher

$$r = F^{-1}(1 - u_1) = \sqrt{-2 \ln u_1},$$

bzw. wieder in kartesischen Koordinaten ($\varphi =: 2\pi u_2$ ist gleichverteilt in $[0, 2\pi]$)

$$x = r \cos \varphi = \sqrt{-2 \ln u_1} \cos(2\pi u_2),$$

$$y = r \sin \varphi = \sqrt{-2 \ln u_1} \sin(2\pi u_2).$$

Mit dieser Vorschrift erhält man also zu je zwei gleichverteilten Zufallszahlen $u_1, u_2 \in [0, 1]$, zwei normalverteilte Zufallszahlen x, y .

Aufwendige trigonometrische Funktionen bei Box-Muller-Methode vermeiden:
transformiere auf Polarkoordinaten

Polarmethode:

Für zwei gleichverteilte Zufallszahlen $u_1, u_2 \in [-1, 1]$ berechnet man $q = u_1^2 + u_2^2$ so lange, bis $q \leq 1$. Ist diese Bedingung erfüllt, erhält man mit

$$p = \sqrt{-2 \frac{\ln q}{q}}$$

zwei normalverteilte Zufallszahlen durch

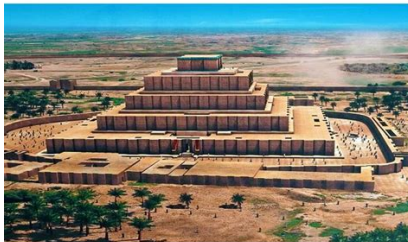
$$x = u_1 p,$$

$$y = u_2 p.$$

Normalverteilte Zufallszahlen - Ziggurat Methode

Schneller ist die **Ziggurat Methode**:

- ▶ Überdeckung der Normalverteilung mit Rechtecken → Zigguratform (Tempelform in Mesopotamien)
- ▶ Für jedes Rechteck: Verwerfungsmethode (nur in wenigen Prozent der Fälle verworfen: dann Berechnung aufwendiger)
- ▶ → sehr schnell, aber auch aufwendiger. Wird von NumPy verwendet und z. B. in der GSL.



Nicht-gleichverteilte Zufallszahlen

In Python:

(verwendet 256-Schritt Zigguratmethode)

```
1 from numpy.random import default_rng
2
3 rng = default_rng()
4
5 vals = rng.standard_normal(100)
6 # oder
7 vals = rng.normal(mu, sigma, 100)
```

oder

```
1 from numpy import random
2
3 vals = random.standard_normal(100)
4 # oder
5 vals = random.normal(mu, sigma, 100)
```

oder

```
1 from random import gauss
2
3 gauss(mu, sigma)
```

Monte-Carlo-Integration (MC-Integration)

Bisher: Numerische Integration durch Verwendung von äquidistanten Stützstellen.

Jetzt: verwende **zufällige Stützstellen** x_i und summiere die Funktionswerte, d. h.

$$\int_a^b f(x) dx \approx \frac{b-a}{N} \sum_{i=1}^N f(x_i).$$

Gesetz der gr. Zahlen: Nähert sich dem Integralwert mit steigendem N .

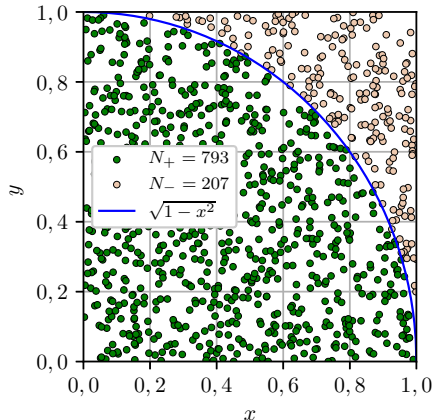


MC-Integration

Bsp.: MC-Integration als **Steinwurfmethode** für den Viertelkreis

$$f(x) = \sqrt{1 - x^2} \quad (x \in [0, 1])$$

Ergebnis: $\pi = 4A \approx 4 \frac{N_+}{N} = 4 \frac{793}{1000} = 3,172$.

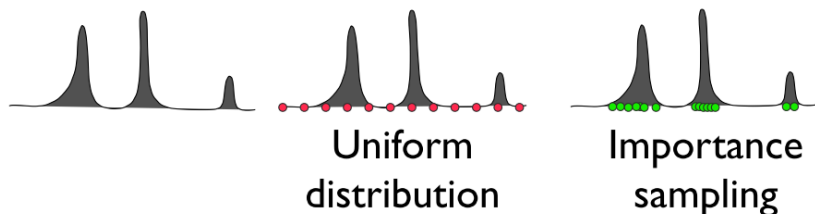


Aufwand der numerischen Integration hängt von **Dimension** ab, nicht aber bei MC-Integration!

Bei hochdimensionalen Integralen (z.B. Phasenraum): MC-Integration. Außerdem: Gleichverteilung der Stützstellen schlecht, insbesondere bei lokalisierten Funktionen.

→ **Importance Sampling:**

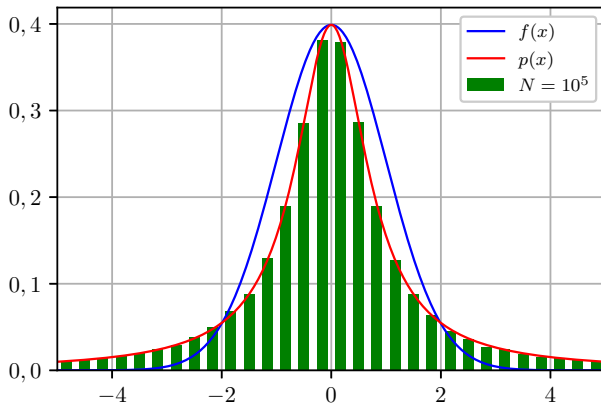
Verwende Zufallszahlen, deren Verteilung etwa der zu integrierenden Funktion entsprechen. Sonst werden Zufallszahlen an Stellen erzeugt, wo die Funktion praktisch null ist.



Importance Sampling

$$\int_a^b f(x) dx = \int_a^b \frac{f(x)}{p(x)} p(x) dx \approx \frac{1}{N} \sum_{i=1}^N \frac{f(z_i)}{p(z_i)}.$$

Beispiel: Gauss-Integral mithilfe von Lorentz-vert. Zufallszahlen:



Importance Sampling - Vergleich

Bestimmung von π mit **gleichverteilten Zufallszahlen**:

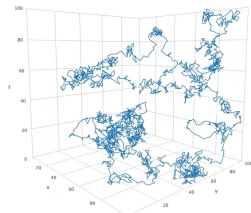
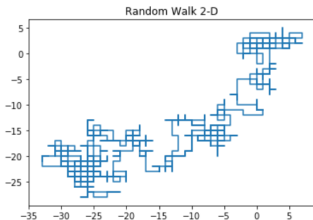
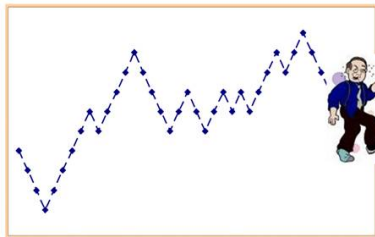
Anzahl Stützstellen	Ergebnis	Mittlerer rel. Fehler
N	$\frac{4}{Z} \sum_{k=1}^Z A_k$	$\frac{1}{Z\pi} \sum_{k=1}^Z \pi - 4A_k $
10	3,172	40 %
100	3,1748	11 %
10^3	3,14312	4 %
10^4	3,14540	1,4 %
10^5	3,14148	0,4 %
10^6	3,14166	0,13 %

Gaussintegral mit **Lorentz-verteilten Zufallszahlen**:

Anzahl Stützstellen	Ergebnis	Mittlerer Fehler
N	$\frac{1}{Z} \sum_{k=1}^Z I_k$	$\frac{1}{Z} \sum_{k=1}^Z 1,0 - I_k $
10	0,9985516	13 %
100	0,9946688	4 %
10^3	1,0000843	1,3 %
10^4	0,9999832	0,4 %
10^5	0,9998997	0,11 %
10^6	1,0000215	0,04 %

Random-Walk

→ Zufallsbewegung (nicht deterministisch = stochastisch, "drunken sailor") auf ein- oder mehrdimensionalem Gitter bzw. Zeitschritt

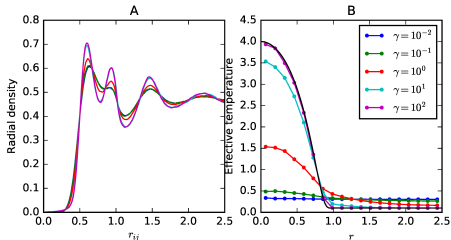
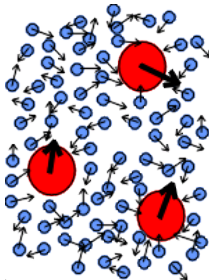


Random-Walk - Beispiele

- ▶ **Brownsche Bewegung** (Wiener Prozess)
- ▶ **Langevin-Dynamik** → Bewegungsgleichung mit stoch. Anteil, z. B.

$$m\ddot{\mathbf{x}}(t) = -\alpha\dot{\mathbf{x}}(t) + \boldsymbol{\eta}(t)$$

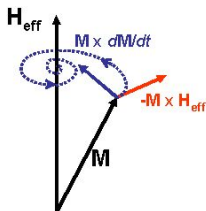
- ▶ typisch: "**weißes Rauschen**" mit $\langle \boldsymbol{\eta} \rangle = \mathbf{0}$ und $\langle \eta_i(t)\eta_j(t') \rangle = 2\alpha kT\delta_{i,j}\delta(t-t')$
- ▶ Bei multiplikativem Rauschen: zwei verschiedene Schema (**Ito und Stratonovich**)



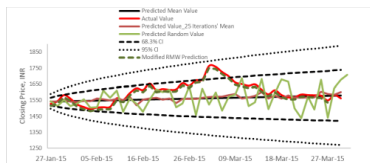
Random-Walk - Mehr Beispiele

- ▶ Spindynamik: stoch. Landau-Lifschitz (LL) Gleichung

$$\dot{\mathbf{m}}(t) = -\gamma \mathbf{m} \times [\mathbf{H}_{\text{eff}} + \boldsymbol{\eta}(t)] - \lambda \mathbf{m} \times (\mathbf{m} \times [\mathbf{H}_{\text{eff}} + \boldsymbol{\eta}(t)])$$

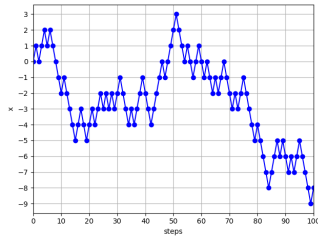
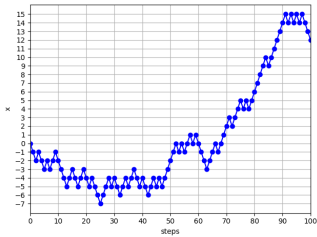
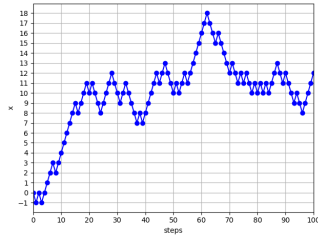
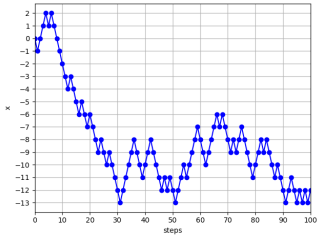


- ▶ Aktienkurse (Drift + period. Anteil + Rauschanteil), Black-Scholes-Modell



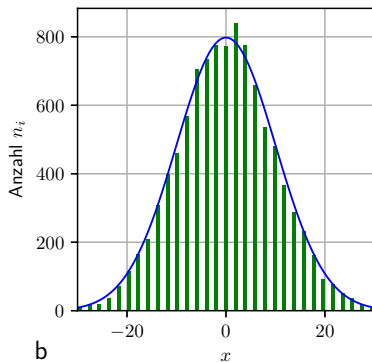
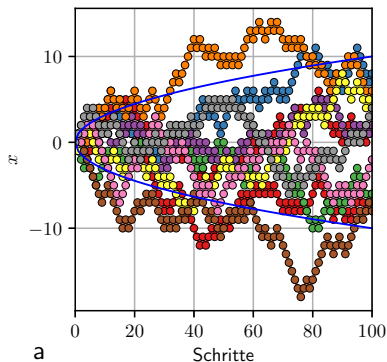
Random-Walk - simuliert

Simuliert: eindimensional, feste Schrittweite, symmetrisch (50-50)



Random-Walk - Statistik

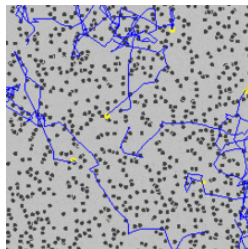
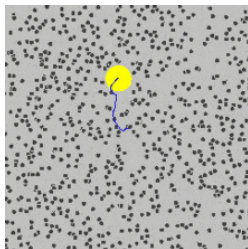
- (a) Eindimensionaler *Random Walk* für zehn verschiedene Beispiele
(b) Verteilung der Endposition nach 100 Schritten für 10.000 Durchläufe:



Binomialstatistik mit $\langle x_n \rangle = n(2p - 1)$ und $\sigma^2 = 4np(1 - p)$.
Für $p = 0,5$ und $n \rightarrow \infty$: normalverteilt mit $\mu = 0$ und $\sigma = \sqrt{n}$

Molekulardynamik (MD) Simulation: Berechne mit diskreten Zeitschritten die Zeitentw. der (stoch.) Bewegungsgl. und damit Dynamik eines Systems

Bsp. **Brownsche Bewegung**



Monte-Carlo (MC) Simulation: Zufallsexperimente und statistische Auswertung der Ergebnisse

Bsp. **Ising-Modell**

MC Simulation - Ising Modell

- ▶ Simulation von wechselwirkenden Spins S_i auf Gitter
- ▶ $S_i = \pm 1$ (Spin up - Spin down)
- ▶ Energie = Wechselwirkung untereinander + ext. Magnetfeld:

$$E_i = -J \sum_{NN} S_i S_j - \mu_B S_i B$$

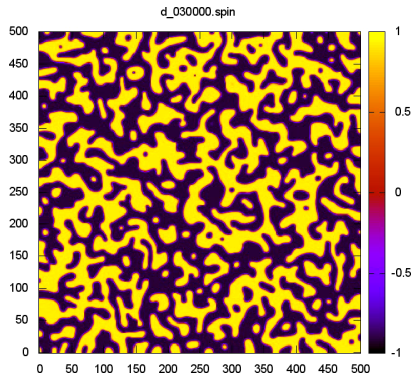
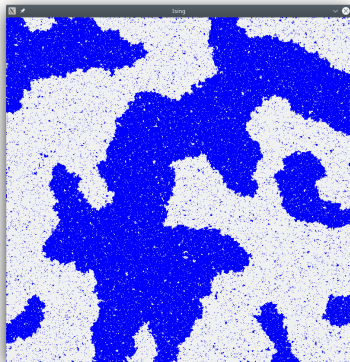
- ▶ Wahrscheinlichkeit für Flip hängt von Nachbarn ab (und Kopplung)

$$P = \exp(-\beta E) = \exp\left(-\frac{1}{k_B T} S_i (J \sum_{NN} S_j + \mu_B B)\right)$$

→ GUI-Simulation

MC Simulation - Ising Modell

Ergebnisse:



Simuliere diskrete dynamische Systeme "auf einem Gitter". **Einfache Regeln** beschreiben **iterative Entwicklung** von Zellen. Verhalten kann trotzdem komplex werden (vgl. nicht-lineare Dynamik).

Anwendungen: (Selbst-)Organisation, Evolution (Bio), Strukturbildung (Chemie), ...

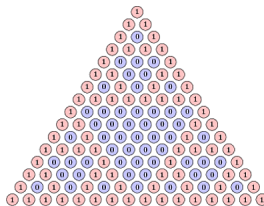
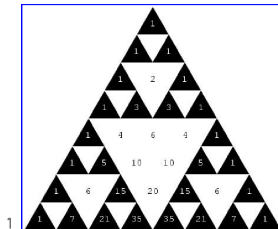
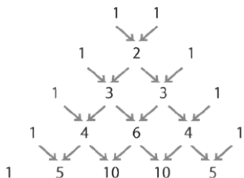
Beispiele:

- ▶ Pascalsches Dreieck
- ▶ Wolfram elementary cellular automata
(https://de.wikipedia.org/wiki/Zellul%C3%A4rer_Automat)
- ▶ Langton-Schleife (<https://de.wikipedia.org/wiki/Langton-Schleife>)
- ▶ Game of Life (Conway)
(https://de.wikipedia.org/wiki/Conways_Spiel_des_Lebens)
- ▶ Nagel-Schreckenberg-Modell
(<https://de.wikipedia.org/wiki/Nagel-Schreckenberg-Modell>)
- ▶ HPP/FHP-Modell (Lattice Gas)

Zelluläre Automaten - Pascalsches Dreieck

- ▶ Neue Zeile ist Summe von zwei benachbarten Werten
- ▶ Startbedingung: ...000001000000...

...0001000...
... 001100...
...0012100...
... 013310...
...0146410...



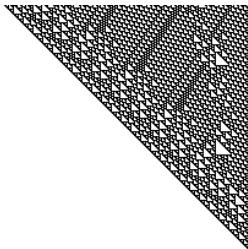
mod 2: Sierpinski-Dreieck

Zelluläre Automaten - Wolfram's Elementarer Zellulärer Automat

Betrachte 3 Zellen mit den Werten 0 oder 1 \rightarrow 8 mögliche Zustände.
Damit $2^8 = 255$ versch. Regeln, wie neue Zustände entstehen:

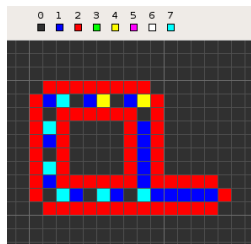
Regel	000	001	010	011	100	101	110	111
1	0	0	0	0	0	0	0	0
..								
30	0	0	0	1	1	1	1	0
..								
110	0	1	1	0	1	1	1	0
..								

Interessante Regeln: 18,90 (Sierpinski) 110, 30

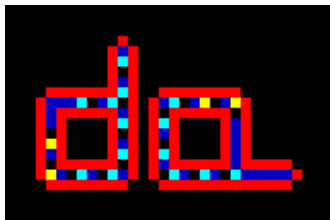


Zelluläre Automaten - Langton-Schleife

Startbedingung (genetische Information im Ring):



Einfachstes, selbstreproduzierendes System → Movie



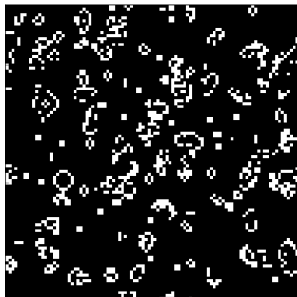
Korallenartig (Reproduktion nur an Rändern)

Zelluläre Automaten - Game of Life (Conway - 1970)

Startbed.: zufällig (50-50)

Regeln:

- ▶ tote Zelle mit genau 3 Nachbarn → lebt,
- ▶ lebende Zelle mit < 2 oder > 3 Nachbarn: tot



→ Animation

Ergebnis: Stabile, instabile, period., Raumschiff- und reprod. Strukturen
Modellierung einer Turing-Machine möglich: Turing vollständig!

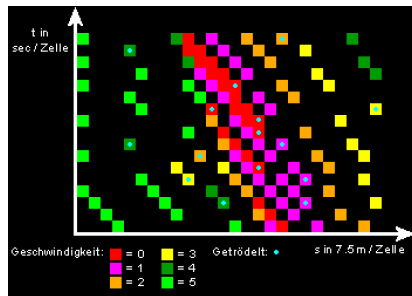
Zelluläre Automaten - Nagel-Schreckenberg-Modell (NaSch-Model)

Simulation von Straßenverkehr

Bremsen/Beschleunigen je nach freier Strecke + "Trödelparame-ter"



Stau aus dem Nichts, Verkehrssimulation in Echtzeit, Verkehrsprognose.
Erweiterung: KI



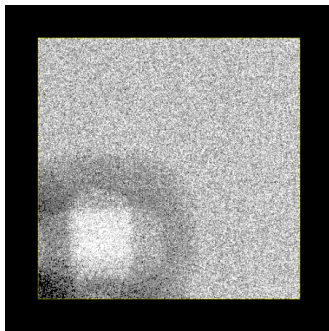
Zelluläre Automaten - Gitter-Gas-Modelle

HPP - orthogonales Gitter (vierzählige Symmetrie)

FHP - Dreiecksgitter (sechszählige Symmetrie)

- ▶ Teilchen auf Gitterpunkten mit Richtung (Geschw.)
- ▶ je Gitterpunkt max. 1 Teilchen (FHP: max. 6)
- ▶ Streuung an Gitterpunkten mit Impulserhaltung (det. vs. stoch.)

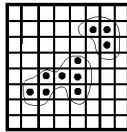
Grundlage für Lattice-Boltzmann-Methode, Grenzfall von Navier-Stokes-Gleichung



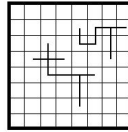
Perkolationstheorie

Bildung von zusammenhängenden Strukturen (Cluster) bei zufälliger Besetzung von Gitterplätzen: Knotenperkolation/Kantenperkolation

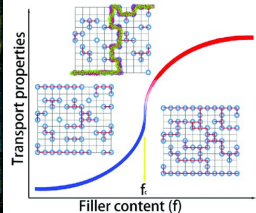
site-percolation



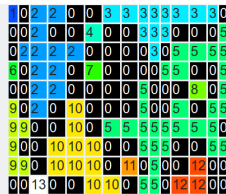
bond-percolation



Ergebnis: Verständnis von **Phasenübergängen** (kritische Werte für Leitfähigkeit, Waldbrände, Wachstumsmodelle)

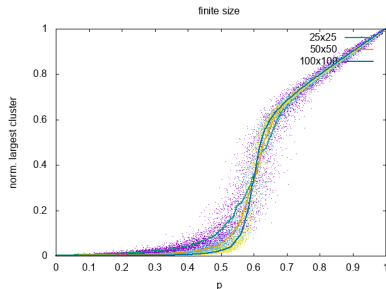
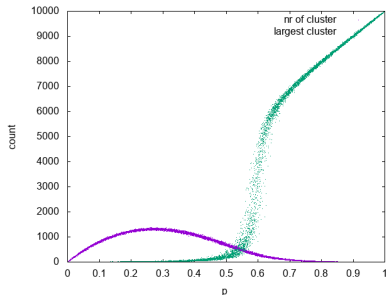


Perkolationstheorie - Labeln: Hoshen-Kopelman (1976)



```
1  nr_label = 0;
2  for x in 0 to n_columns {
3    for y in 0 to n_rows {
4      if occupied[x,y] then
5        left = occupied[x-1,y];
6        above = occupied[x,y-1];
7
8        if (left == 0) and (above == 0) then // Neither a label above nor to the left.
9          nr_label++; // Make a new, as-yet-unused cluster label.
10         label[x,y] = nr_label;
11       else if (left != 0) and (above == 0): // One neighbor, to the left.
12         label[x,y] = find(left);
13       else if (left == 0) and (above != 0): // One neighbor, above.
14         label[x,y] = find(above);
15       else // Neighbors BOTH to the left and above.
16         union(left, above); // Link the left and above clusters.
17         label[x,y] = find(left);
18     }
19 }
```

Perkolationstheorie - Ergebnisse (2D Quadratgitter)



- ▶ Perkolation: Ein Cluster verbindet Ränder: Sprung in Leitfähigkeit
- ▶ Phasenübergang bei $p \approx 0,59$
- ▶ Finite-Size-Effekte (rechts)

	lattice	bond	site
1D	any	1.0	1.0
	square	1/2	.592746
2D	triangular	.34729	1/2
	honeycomb	.65271	.6962
3D	simple cubic	.2488	.3166
	BCC	.1803	.246
	FCC	0.1992365(10)	0.1201635(10)
	HCP	0.1992555(10)	0.1201640(10)
	tetrahedral(ice)	0.388(10)	0.433(11)

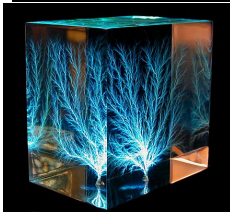
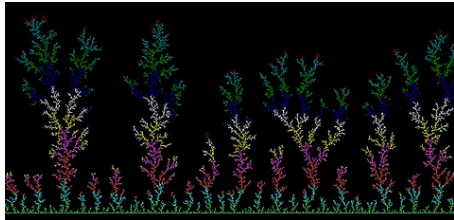
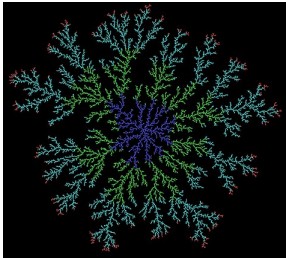
Diffusion Limited Aggregation (DLA)

Random Walk mit Anlagerung an Cluster (Witten & Sander, 1981)

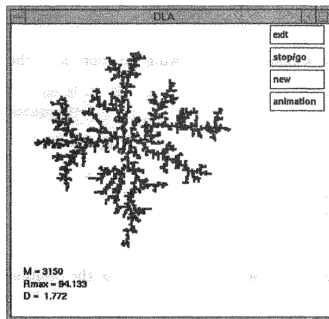
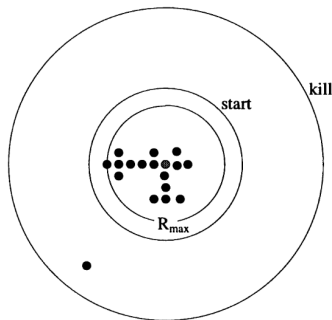
Diffusionsdominierter Transport mit Anlagerung

Ergebnis: Brownsche Bäume

unten: Lichtenberg-Figur, Elektrodeposition, Schneeflocke



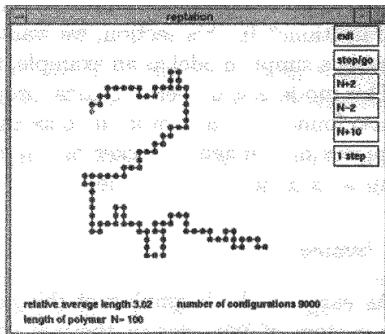
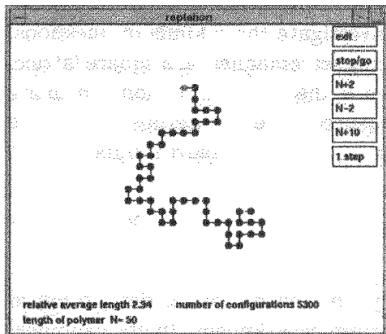
Diffusion Limited Aggregation (DLA) - Simulation



Fraktale Dimension: $D = \ln N / \ln R_{\max}$
(Achtung: Wachstum nicht beendet, d.h. $D(r)$)

Polymerketten

Ketten von Molekülen fester Länge. Simulation mit Hilfe von *self-avoiding random walk* (SAW)



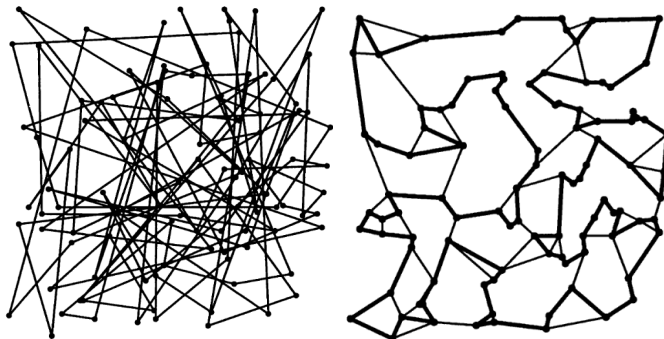
Stochastische Optimierung

→ Optimierung mit Hilfe von Zufallszahlen

Z.B. *Traveling Salesman*: Finde kürzesten Weg um alle Städte zu bereisen

Algorithmen: Exakt, Hill-Climbing, Simulated Annealing, Ameisen-Alg., evolutionäre Alg., Neuronale Netze

Start: zufällig (hier: $l = 4.8$), Ende: $l \approx 0.85$



Ähnliche Probleme in Schach, Go, etc.: MC Tree Search (MCTS), d.h. zufälliges Rastern der Auswahlmöglichkeiten